



مجله علوم و تکنولوژی پلیمر،

سال بیست و دوم، شماره ۱،

۱۳۸۸، ۶۲-۷۳ صفحه

ISSN : 1016-3255

بررسی شکست در مواد پلیمری ترد دارای شیار V شکل در بارگذاری برشی خالص

مجید رضا آیت الهی^{*}، علیرضا ترابی

تهران، دانشگاه علم و صنعت ایران، دانشکده مهندسی مکانیک، صندوق پستی ۱۳۱۱۴-۱۶۸۴۶

دریافت: ۸۷/۱۰/۱۴، پذیرش: ۸۷/۱۲/۱۷

پدیده شکست مکانیکی در مواد پلیمری ترد به طور ناگهانی و بدون هشدار قبلی رخ می‌دهد. در قطعات صنعتی ساخته شده از پلیمرهای تردی مانند پلکسی گلاس، کاهی شیارهایی ایجاد می‌شود. این شیارها مکان‌های مستعدی برای شکل‌گیری ترک و در نهایت شکست ترد در این ماده پلیمری هستند. در این پژوهش، شیار موجود در یک قطعه آزمایشگاهی از جنس پلکسی گلاس زیر بارگذاری برش خالص قرار گرفت و مقدار چقرمگی شکست شیار و زاویه شروع شکست قطعه از راه آزمایش به دست آمد. قطعات آزمایشگاهی دارای شیار V شکل با نوک گرد بوده و در آنها زاویه شیار و شعاع نوک آن تغییر می‌کرد. سپس، نتایج حاصل از آزمایش به کمک معیاری که برای پیش‌بینی شکست در قطعات ترد دارای شیار V شکل با نوک گرد و زیر بارگذاری برشی خالص پیشنهاد شده، مطالعه شد. نتایج به دست آمده بیان گر تطابق خوب معیار نظری و نتایج تجربی است.

واژه‌های کلیدی

پلیمر ترد،
شکست ترد، پلکسی گلاس،
شیار V شکل، شیوه II خالص

*مسئول مکاتبات، پیام نگار:

m.ayat@iust.ac.ir

Investigation of Fracture in V-notched Brittle Polymers under Pure Shear Loading

M.R. Ayatollahi* and A.R. Torabi

Department of Mechanical Engineering, Iran University of Science and Technology,

P.O. Box: 16846-13114, Tehran, Iran

Received 3 January 2009, accepted 7 March 2009

Abstract

Sudden fracture is one of the major failure modes in brittle materials. Plexiglass (polymethyl methacrylate) is a well known brittle polymer, widely used in various industries. Many types of notches, particularly V-shaped notches, are sometimes used in the components made of plexiglass. These notches can dramatically decrease the load bearing capacity of components due to the concentration of stress at the vicinity of their tips. The stress concentration may result in the crack nucleation and fracture from the tip of a V-notch. In the present paper, a set of notched specimens of plexiglass are subjected to pure mode II loading, in order to determine the mode II fracture toughness and the fracture initiation angle experimentally. These specimens contain rounded-tip V-notches with variable notch opening angles and different notch radii. The experimental results are then predicted by using a failure criterion, suggested for estimating brittle fracture in rounded-tip V-notches under pure shear deformation. A good agreement is shown to exist between the theoretical predictions and the experimental results.

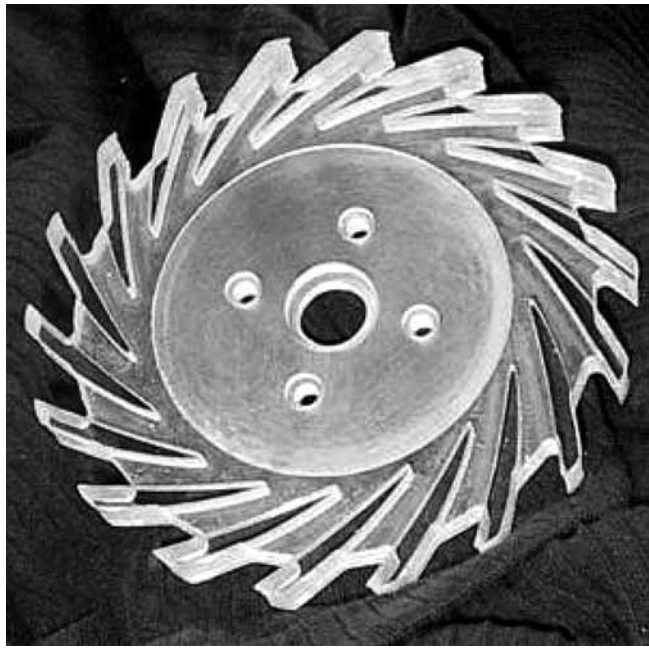
Key Words

brittle polymer,
brittle fracture, plexiglass,
V-notch, pure mode II

(*) To whom correspondence should be addressed.

E-mail: m.ayat@iust.ac.ir

مقدمه



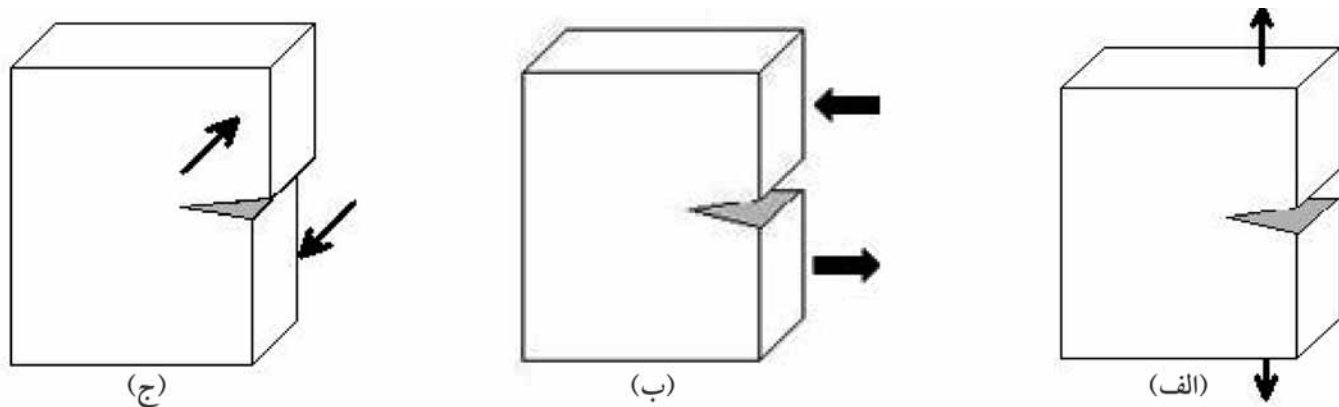
شکل ۱- نمایی از چرخ دنده‌ای از جنس PMMA مورد استفاده در یک ساز و کار انتقال قدرت [۵].

شکل با نوک گرد استفاده می‌شود. به طور کلی در کاربردهای عملی، شیارهای V شکل زیر بارهای مختلفی قرار می‌گیرند. این بارگذاری‌ها به طور عمده به سه گروه کلی دسته‌بندی می‌شوند. در بارگذاری نوع اول که به بارگذاری شیوه I موسوم است، لبه‌های شیار V شکل نسبت به یک دیگر فقط باز می‌شوند. در بارگذاری نوع دوم که به نام شیوه II خوانده می‌شود، لبه‌های شیار به شکل داخل صفحه‌ای در راستای نیم‌ساز شیار فقط نسبت به یک دیگر می‌لغزند و هیچ نوع بازشدگی نسبت به یک دیگر ندارند. در نوع سوم که بارگذاری شیوه III نامیده می‌شود، لبه‌های شیار به شکل خارج صفحه‌ای نسبت به یک دیگر می‌لغزنند. چنان‌چه قطعه دارای شیار V شکل، هم زمان زیر دو یا سه نوع بارگذاری یاد شده قرار گیرد، بارگذاری به شیوه ترکیبی است. **شکل ۲** نمایی از شیوه‌های بارگذاری در شیارهای V شکل را به شکل طرح دار نشان می‌دهد.

با توجه به اهمیت شکست ترد در شیارهای V شکل، ارائه معیاری برای پیش‌بینی چقرمگی شکست (مقاومت در برابر شکست) در این شیارها امری ضروری است. تاکنون، معیارهای متفاوتی برای پیش‌بینی شکست ترد در شیارهای V شکل با نوک گرد زیر بارگذاری شیوه I خالص ارائه شده است. از آن جمله می‌توان به معیارهای Gomez & Elices [۶] و Leguillon & Yosibash [۸] اشاره کرد. برای بررسی رفتار شکست ترد در قطعات دارای شیار V شکل نوک گرد زیر بارهای شیوه ترکیبی I/II

مواد پلیمری از نقطه نظر واماندگی مکانیکی، به طور عمده به دو نوع کلی دسته‌بندی می‌شوند. نوع اول، پلیمرهایی هستند که رفتار نرم دارند و پس از تغییر شکل‌های برشی و جذب انرژی زیاد دچار واماندگی می‌شوند. پلیمرهای نوع دوم رفتار ترد دارند و ساز و کار واماندگی مکانیکی در آنها از نوع ترک‌برداری موبی (crazing) است [۱-۳] که در نهایت می‌تواند به شکست ترد منتهی شود. ترک موبی ناحیه‌ای بسیار کوچک در نزدیکی نوک ترک یا نوک شیار است که در اثر اعمال بار دچار تخریب موضعی شده و سبب تضعیف ماده پلیمری در این ناحیه نسبت به بخش‌های سالم ماده می‌شود. در نتیجه، ترک موبی مسیری مساعد برای جوانه‌زنی و گسترش ترک از محل نوک شیار را فراهم می‌کند. از این رو، در بسیاری از پلیمرهای ترد وقتی که تنش بیشینه اصلی موجود در نوک ترک یا نوک شیار به حالت کششی باشد، شکست ترد به واسطه پاره‌شدن و گسیختگی ترک‌های موبی، جوانه‌زنی ترک از نوک شیار و سپس رشد آن به وجود می‌آید [۴]. شیارها و به ویژه شیارهای V شکل به دلیل کاربردهای متنوع، به طور گسترده در قطعات و سازه‌های مهندسی استفاده می‌شوند. وجود شیار V شکل در قطعه موجب تمرکز شدید تنش در نزدیکی نوک آن شده و استحکام قطعه شیاردار در برابر شکست را به مقدار قابل توجهی کاهش می‌دهد. چنان‌چه قطعه شیاردار V شکل از جنس ماده ترد ساخته شده باشد، وقوع شکست ترد در قطعه از محل نوک شیار V شکل بسیار محتمل است. در میان مواد ترد مورد استفاده در صنعت، پلیمرهای ترد جایگاه ویژه‌ای دارند. از جمله پلیمرهای ترد پرکاربرد در صنایع مختلف به ویژه صنایع هواپضا و خودرو، می‌توان از پلکسی گلاس با نام علمی پلی‌متیل متاکریلات (PMMA) نام برد که پلیمری شفاف است و در قطعات مختلف به کار گرفته می‌شود. از مواد کاربرد این ماده پلیمری در صنعت که دارای شیار V شکل نوک گرد هستند، می‌توان به پیچ‌ها و چرخ دنده‌های پلیمری اشاره کرد. در **شکل ۱** نمایی از چرخ دنده‌ای از جنس پلکسی گلاس، که برای انتقال قدرت استفاده می‌شود، نشان داده شده است.

همان طور که در **شکل ۱** ملاحظه می‌شود، شکل تقریبی گوشه‌های دندانه‌های چرخ دنده، شبیه به شیارهای V شکل است که تحلیل مقاومت این دندانه‌ها در برابر شکست ترد، زیر بارهای متنوع اعمال شده به آنها امری ضروری است. با توجه به این که تمرکز تنش در اطراف شیارهای V شکل نوک تیز بسیار زیاد و احتمال شکست آنها زیر بارهای اعمالی زیاد است، بنابراین به منظور کاهش تمرکز تنش و در نتیجه افزایش مقاومت این قطعات در برابر شکست ترد، معمولاً از شیارهای

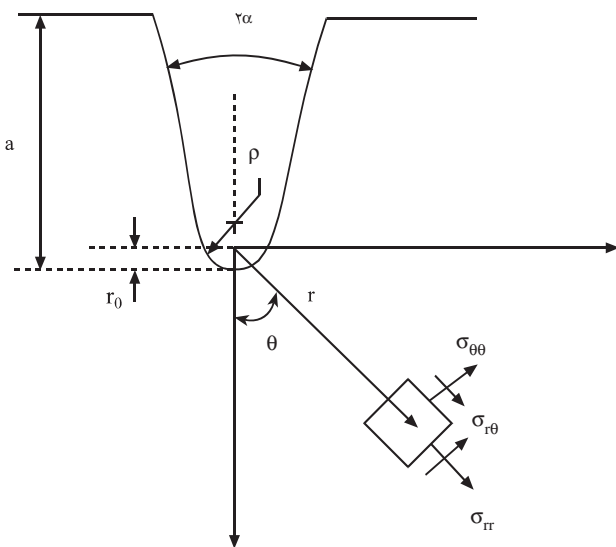


شکل ۲ - نمایی از شیوه‌های بارگذاری در قطعات دارای شیار V شکل: (الف) شیوه I، (ب) شیوه II و (ج) شیوه III.

مربوط به آن نشان می‌دهد.

توزيع تنش در اطراف یک شیار V شکل با نوک گرد، زیر بارگذاری شیوه ترکیبی I/II به ترتیب زیرنوشته می‌شود [۱۱]:

$$\begin{aligned} \left[\begin{array}{l} \sigma_{\theta\theta} \\ \sigma_{rr} \\ \sigma_{r\theta} \end{array} \right] = & \frac{K_I^{V,\rho}}{\sqrt{2\pi} r^{1-\lambda_1}} \left[\begin{array}{l} m_{\theta\theta}(\theta) \\ m_{rr}(\theta) \\ m_{r\theta}(\theta) \end{array} \right]^{(I)} + \left(\frac{r}{r_0} \right)^{\mu_1-\lambda_1} \left[\begin{array}{l} n_{\theta\theta}(\theta) \\ n_{rr}(\theta) \\ n_{r\theta}(\theta) \end{array} \right]^{(I)} \\ & + \frac{K_{II}^{V,\rho}}{\sqrt{2\pi} r^{1-\lambda_2}} \left[\begin{array}{l} m_{\theta\theta}(\theta) \\ m_{rr}(\theta) \\ m_{r\theta}(\theta) \end{array} \right]^{(II)} + \left(\frac{r}{r_0} \right)^{\mu_2-\lambda_2} \left[\begin{array}{l} n_{\theta\theta}(\theta) \\ n_{rr}(\theta) \\ n_{r\theta}(\theta) \end{array} \right]^{(II)} \end{aligned} \quad (1)$$



شکل ۳ - هندسه شیار V شکل با نوک گرد در حالت کلی به همراه دستگاه مختصات قطبی مربوط به آن.

تاکنون تنها یک معیار ارائه شده است که فقط قابلیت پیش‌بینی شکست در شیارهای V شکل با شعاع‌های نوک شیار خیلی کوچک را داردند [۹]. هم‌چنان، معیار مزبور قابلیت پیش‌بینی شکست زیر بارهای شیوه II خالص را ندارد. با توجه به این که بارگذاری برشی، یکی از بارگذاری‌های پرکاربرد در قطعات شیاردار V شکل است، بنابراین ارائه معیاری برای پیش‌بینی شکست در این شیارها، زیر بارگذاری شیوه II خالص امری ضروری به نظر می‌رسد.

در این پژوهش، معیاری موسوم به RV-MTS برای پیش‌بینی چرمگی شکست و زاویه شروع شکست در شیارهای V شکل با نوک گرد، زیر بارگذاری برشی خالص ارائه شده و به کمک نتایج آزمون‌های شکست انجام شده توسط نویسنده‌گان مقاله روی نمونه‌های آزمایشگاهی از جنس پلکسی گلاس (PMMA) ارزیابی شده است. اساس این معیار بر پایه معیار بیشینه تنش محیطی است که پیش از این برای بررسی شکست شیوه ترکیبی و شیوه II خالص در قطعات ترک دار ترد، پیشنهاد شده و مورد استفاده قرار گرفته است [۱۰].

در بخش بعد، ابتدا میدان تنش در اطراف شیارهای V شکل با نوک گرد ارائه می‌شود، سپس جزئیات معیار RV-MTS و نتایج به دست آمده از آن در ارتباط با پیش‌بینی شکست در شیارهای V شکل از جنس پلکسی گلاس ارائه می‌شود.

توزیع تنش در اطراف نوک شیارهای V شکل زیر بارگذاری مركب داخل صفحه‌ای

توزیع تنش در اطراف نوک شیارهای V شکل زیر بارگذاری ترکیبی داخل صفحه‌ای، به شکل مدون و در قالب یک فرمول‌بندی تقریبی توسط Filippi و همکاران [۱۱] ارائه شده است. **شکل ۳** هندسه شیار V شکل با نوک گرد را در حالت کلی به همراه دستگاه مختصات قطبی

جدول ۱- پارامترهای مهم در معادله‌های میدان تنش به همراه علامت‌های اختصاری آنها.

پارامتر	علامت اختصاری
$1 - \lambda_1$	S
$1 + \lambda_1$	R
$1 - \lambda_2$	U
$1 + \lambda_2$	T
$1 - \mu_1$	W
$1 + \mu_1$	V
$1 - \mu_2$	Y
$1 + \mu_2$	X
$\mu_1 - \lambda_1$	P
$\mu_2 - \lambda_2$	Q
$r_{c,v} / r_0$	H
1	L
$\frac{q}{[1 + \lambda_1 + \chi_{b_1}(1 - \lambda_1)]}$	M
$\frac{q}{4(q-1)[1 + \lambda_1 + \chi_{b_1}(1 - \lambda_1)]}$	
$\frac{1}{[1 - \lambda_2 + \chi_{b_2}(1 + \lambda_2)]}$	N
$\frac{q}{4(\mu_2 - 1)[1 - \lambda_2 + \chi_{b_2}(1 + \lambda_2)]}$	O

$$\sigma_{\theta\theta}(r, \theta) = \frac{K_I^{V,\rho}}{\sqrt{2\pi}r^S} \left[L(R \cos S\theta + \chi_{b_1} S \cos R\theta) + \left(\frac{r}{r_0} \right)^P M(\chi_{d_1} V \cos W\theta + \chi_{c_1} \cos V\theta) \right] + \frac{K_{II}^{V,\rho}}{\sqrt{2\pi}r^U} \left[N(T \sin U\theta + \chi_{b_2} T \sin T\theta) + \left(\frac{r}{r_0} \right)^Q O(\chi_{d_2} X \sin Y\theta - \chi_{c_2} \sin X\theta) \right] \quad (6)$$

در شرایط بارگذاری شیوه II خالص، مقدار $K_I^{V,\rho}$ برابر با صفر است و تنش محیطی به شکل زیر ساده می‌شود:

$$\sigma_{\theta\theta}(r, \theta) = \frac{K_{II}^{V,\rho}}{\sqrt{2\pi}r^U} \left[N(T \sin U\theta + \chi_{b_2} T \sin T\theta) + \left(\frac{r}{r_0} \right)^Q O(\chi_{d_2} X \sin Y\theta - \chi_{c_2} \sin X\theta) \right] \quad (7)$$

در این معادله $K_I^{V,\rho}$ و $K_{II}^{V,\rho}$ ضرایب شدت تنش شیار در حالت شیوه‌های I و II خالص و r_0 فاصله نوک شیار از مبدأ مختصات قطبی است که مقدار آن از معادله (۲) معین می‌شود. توابع m_{ij} و n_{ij} بر حسب زاویه θ در مرجع [۱۲] موجود هستند. $\lambda_1, \lambda_2, \mu_1$ و μ_2 مقادیر ویژه هستند که مقدار عددی این پارامترها وابسته به زاویه دهانه شیار است و در مرجع [۱۱] داده شده‌اند.

معادله (۲) برای شیوه‌های V شکل نوک گرد برقرار است [۱۱]:

$$r_0 = \frac{q-1}{q} \rho, \quad q = \frac{2\pi - 2\alpha}{\pi} \quad (2)$$

در معادله (۲)، 2α زاویه دهانه شیار و ρ شعاع گردشگی نوک شیار است. مقدار ضرایب شدت تنش شیار را می‌توان از معادلات زیر به دست آورد [۱۲، ۱۳]:

$$K_I^{V,\rho} = \sqrt{2\pi} \frac{\sigma_{\theta\theta}(r_0, 0)r_0}{1 + \omega_1}^{1-\lambda_1} \quad (3)$$

$$K_{II}^{V,\rho} = \lim_{r \rightarrow r_0} \sqrt{2\pi} \frac{\sigma_{\theta\theta}(r, 0)r}{1 - \left(\frac{r}{r_0} \right)^{\mu_2 - \lambda_2}}^{1-\lambda_2} \quad (4)$$

مقادیر ω_1 وابسته به زاویه دهانه شیار است، در مرجع [۱۱] داده شده است. به کمک معادلات (۳) و (۴) می‌توان مقدار ضرایب شدت تنش شیار را به ازای زوایای مختلف دهانه شیار و شعاع گردشگی نوک شیار به دست آورد. مطابق با معادله (۱)، تنش محیطی در اطراف نوک شیوه‌های V شکل با نوک گرد را می‌توان به شکل زیر نوشت:

$$\sigma_{\theta\theta}(r, \theta) = \frac{K_I^{V,\rho}}{\sqrt{2\pi}r^{1-\lambda_1}} \left[m_{\theta\theta}(\theta)^{(I)} + \left(\frac{r}{r_0} \right)^{\mu_1 - \lambda_1} n_{\theta\theta}(\theta)^{(I)} \right] + \frac{K_{II}^{V,\rho}}{\sqrt{2\pi}r^{1-\lambda_2}} \left[m_{\theta\theta}(\theta)^{(II)} + \left(\frac{r}{r_0} \right)^{\mu_2 - \lambda_2} n_{\theta\theta}(\theta)^{(II)} \right] \quad (5)$$

به منظور ساده‌سازی معادله‌های میدان تنش و استخراج معادله‌های مربوط به معیار شکست به شکل ساده‌تر، پارامترهای مهم در این معادله‌ها در قالب علائم در **جدول ۱** نشان داده شده‌اند.

پارامترهای X_{b_1} و X_{b_2} وابسته به زاویه دهانه شیار هستند و در مرجع [۱۱] داده شده‌اند.

با استفاده از معادله (۵) و به کمک **جدول ۱** می‌توان تنش محیطی را در اطراف نوک شیوه‌های V شکل با نوک گرد به شکل زیر نوشت:

$$(\sigma_{\theta\theta})_c = \frac{K_{IIc}^{V,p}}{\sqrt{2\pi}(r_{c,V})^U} \left[N(T \sin U\theta_0 + \chi_{b_2} T \sin T\theta_0) + \left(\frac{r_{c,V}}{r_0} \right)^Q O(\chi_{d_2} X \sin Y\theta_0 - \chi_{c_2} \sin X\theta_0) \right] \quad (10)$$

معادله (۱۰)، معادله حاکم بر شکست قطعه شیاردار V شکل با نوک گرد، در شرایط بارگذاری شیوه II خالص است. از آن جا که در مراجع قبلی، اطلاعات گسترده‌ای از چقرومگی شکست شیارها در بارگذاری شیوه I موجود است، ترجیح داده می‌شود که مقدار $K_{IIc}^{V,p}$ بر حسب مقدار متناظر آن در شیوه I، یعنی $K_{Ic}^{V,p}$ نمایش داده شود. در این حالت می‌توان از آزمایش‌های جدید و مجزا برای شیوه II پرهیز کرد. بنابراین، در ادامه نحوه محاسبه $K_{Ic}^{V,p}$ بر حسب $K_{IIc}^{V,p}$ شرح داده می‌شود.

در شرایط بارگذاری شیوه I خالص، شکست قطعه شیاردار V شکل با نوک گرد هنگامی رخ می‌دهد که مقدار ضریب شدت تنش شیار به مقداری بحرانی به نام چقرومگی شکست شیوه I شیار $K_{Ic}^{V,p}$ برسد [۷]. این پارامتر بستگی به جنس ماده، زاویه دهانه شیار و شعاع نوک شیار داشته و به کمک آزمایش قابل تعیین است. بنابراین، پارامتر مزبور جزء خواص ثابت ماده نیست و به هندسه شیار نیز بستگی دارد. شرایط حاکم بر شکست قطعه شیاردار V شکل در حالت شیوه I خالص عبارتند از:

$$\begin{aligned} \theta_0 &= 0 \\ K_I^{V,p} &= K_{Ic}^{V,p} \\ K_{II}^{V,p} &= 0 \\ \sigma_{\theta\theta} &= (\sigma_{\theta\theta})_c \end{aligned} \quad (11)$$

با جای گذاری معادله (۱۱) در معادله (۶)، در شرایط شیوه I خالص می‌توان نوشت:

$$(\sigma_{\theta\theta})_c = \frac{K_{Ic}^{V,p}}{\sqrt{2\pi}(r_{c,V})^S} \left[L(R + \chi_{b_1} S) + H^P M(\chi_{d_1} V + \chi_{c_1}) \right] \quad (12)$$

با برقراری تساوی بین معادله‌های (۱۰) و (۱۲) می‌توان نوشت:

$$\begin{aligned} \frac{K_{IIc}^{V,p}}{K_{Ic}^{V,p}} &= r_{c,V}^{(U-S)} \frac{L(R + \chi_{b_1} S) + H^P M(\chi_{d_1} V + \chi_{c_1})}{N(T \sin U\theta_{0II} + \chi_{b_2} T \sin T\theta_{0II})} \\ &\quad + H^Q O(\chi_{d_2} X \sin Y\theta_{0II} - \chi_{c_2} \sin X\theta_{0II}) \end{aligned} \quad (13)$$

عبارت $\frac{K_{IIc}^{V,p}}{K_{Ic}^{V,p}}$ نسبت چقرومگی شکست شیار نامیده می‌شود. بنابراین، می‌توان از معیار RV-MTS (معادله ۱۳) برای پیش‌بینی

معیار شکست برای شیارهای V شکل با نوک گرد زیر بارگذاری شیوه II خالص

معیار بیشینه تنش محیطی (MTS) معیاری معروف و متداول برای بررسی شکست ترد در قطعات ترک دار زیر بارگذاری‌های شیوه ترکیبی I/II است [۱۰]. طبق معیار بیشینه تنش محیطی، شکست در قطعه دارای ترک نوک تیر هنگامی اتفاق می‌افتد که مقدار تنش محیطی در فاصله بحرانی r از نوک ترک به مقدار بحرانی $\sigma_{\theta\theta}$ برسد. در این مقاله، معیار MTS به حوزه شیارهای V شکل با نوک گرد تعیین داده شده (معیار RV-MTS) و از آن برای بررسی شکست این شیارها زیر بارگذاری شیوه II خالص استفاده می‌شود.

برای محاسبه زاویه شروع شکست شیارهای V شکل نوک گرد زیر بارگذاری برشی خالص، طبق معیار MTS ضروری است که مشتق اول تنش محیطی نسبت به پارامتر θ برابر با صفر باشد. زاویه شکست، زاویه‌ای است که در ازای آن $\sigma_{\theta\theta}$ بیشینه است و با θ_0 نشان داده شده و هم‌چنین در لحظه شکست، پارامتر r برابر با فاصله بحرانی شیار ($r_{c,V}$) است. $r_{c,V}$ فاصله بحرانی برای شیارهای V شکل با نوک گرد است که از مبدأ مختصات قطبی (شکل ۳) و نه از نوک شیار اندازه گیری می‌شود. این پارامتر علاوه بر خواص ماده، به هندسه شیار نیز بستگی دارد. بنابراین:

$$\frac{\partial \sigma_{\theta\theta}(r, \theta)}{\partial \theta} \Big|_{r=r_{c,V}} = 0 \quad (8)$$

با جای گذاری معادله (۷) در معادله (۸) معادله (۹) حاصل می‌شود:

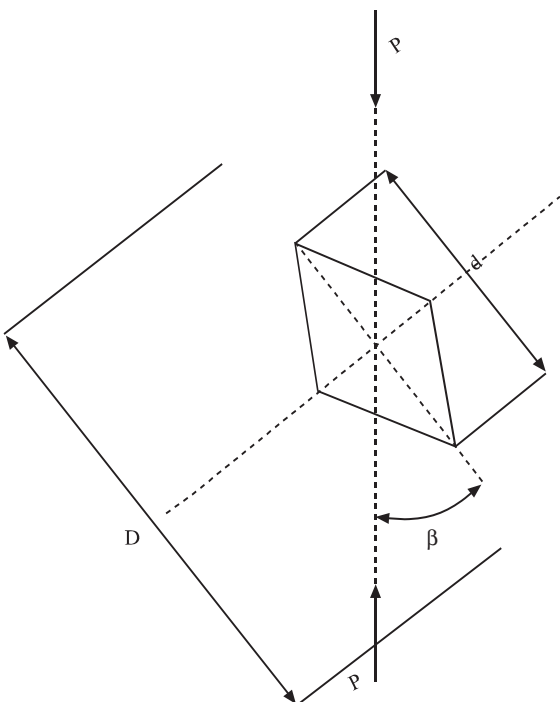
$$\left[N(TU \cos U\theta_0 + \chi_{b_2} T^2 \cos T\theta_0) + \left(\frac{r_{c,V}}{r_0} \right)^Q O(\chi_{d_2} XY \cos Y\theta_0 - \chi_{c_2} X \cos X\theta_0) \right] = 0 \Rightarrow \theta_0 = \theta_{0II} \quad (9)$$

بر اساس این معادله، در حالت بارگذاری شیوه II خالص، شکست در امتداد $\theta_0 = \theta_{0II}$ از نوک شیار شروع می‌شود که مقدار θ_{0II} از حل معادله (۹) به دست آمده و بستگی به فاصله بحرانی شیار ($r_{c,V}$)، زاویه دهانه و شعاع نوک آن دارد. طبق معیار MTS، شکست هنگامی رخ می‌دهد که تنش محیطی در فاصله $r = r_{c,V}$ از مبدأ مختصات شیار به مقدار بحرانی $\sigma_{\theta\theta}$ برسد. هم‌چنین، در لحظه شکست مقدار ضریب شدت تنش شیوه II شیار، به مقدار بحرانی $(K_{IIc}^{V,p})$ می‌رسد. پارامتر $K_{IIc}^{V,p}$ شیوه II اصطلاحاً چقرومگی شکست قطعه شیاردار زیر بارگذاری شیوه II خالص نامیده می‌شود. بنابراین، در شرایط شکست می‌توان معادله (۷) را به شکل زیر نوشت:

(RV-BD) از جنس پلکسی‌گلاس برای مطالعه شکست شیوه II در شیارهای V شکل نوک گرد استفاده شده است. **شکل ۴** نمایی از این نمونه آزمایشگاهی را نشان می‌دهد.

در این شکل، D و d به ترتیب بیان گر قطر صفحه و قطر بزرگتر شیار و P نشان دهنده بار فشاری اعمال شده به نمونه است. در شرایطی که راستای نیم ساز شیار در امتداد بار اعمالی است (بارگذاری با زاویه $\beta = 0^\circ$) به علت تقارن هندسه و بارگذاری، تغییر شکل در شیار به صورت شیوه I خالص است. با تغییر زاویه نیم ساز شیار نسبت به راستای بارگذاری β ، به تدریج آثار شیوه II ظاهر می‌شود و بارگذاری به شکل شیوه ترکیبی I/I_{II} خواهد بود. با افزایش این زاویه به تدریج از آثار شیوه I کاسته می‌شود، تا جایی که به ازای زاویه خاص β می‌توان به بارگذاری شیوه II خالص دست یافت.

برای محاسبه زاویه متناظر با تغییر شکل شیوه II خالص در نمونه‌ها (زاویه β_{II})، زاویه محور نیم ساز شیار نسبت به راستای بارگذاری مرتبأً تغییر کرده و هر بار مقدار تنش محیطی روی نیم ساز شیار به کمک روش اجزای محدود محاسبه می‌شود. در نهایت با افزایش زاویه بارگذاری، می‌توان به زاویه‌ای دست یافت که به ازای آن، مقدار تنش محیطی روی نوک شیار برابر با صفر شده و بنابراین مقدار ضریب شدت تنش شیار شیوه I (K_I^{V,P}) بر اساس معادله (۳) برابر با صفر می‌شود. در این حالت تغییر شکل در نوک شیار به شکل شیوه II خالص است. به منظور تعیین زاویه II بر حسب زوایای مختلف دهانه شیار، صفحه بروزیلی نشان داده



شکل ۴- نمای کلی از نمونه صفحه بروزیلی دارای شیار V شکل (RV-BD).

چقرمگی شکست قطعات شیاردار V شکل با نوک گرد، زیر بارگذاری شیوه II خالص بهره برد.

همان طور که از معادلات ارائه شده مشاهده می‌شود، برای محاسبه نسبت چقرمگی شکست شیار و زاویه شروع شکست، محاسبه مقدار فاصله بحرانی $r_{c,V}$ ضروری است. برای محاسبه پارامتر $r_{c,V}$ می‌توان از معادله شکست مربوط به بارگذاری شیوه I خالص، که در واقع همان معیار تنفس نقطه‌ای است (معادله ۱۲) استفاده کرد. بنابراین، با استفاده از معادله (۱۲) می‌توان نوشت:

$$(r_{c,V})^S = \frac{K_{Ic}^{V,p}}{\sqrt{2\pi(\sigma_{00})_c}} \left[\frac{L(R + \chi_{b_1} S)}{+(r_{c,V})^P M(\chi_{d_1} V + \chi_{c_1})} \right] \quad (14)$$

با ساده‌سازی معادله (۱۴) و در صورت معلوم بودن $K_{Ic}^{V,p}$ و σ_{00} ، می‌توان مقدار پارامتر $r_{c,V}$ را از حل معادله (۱۵) به شکل ضمنی به دست آورد:

$$r_{c,V} - \left[\frac{K_{Ic}^{V,p} \left[L(R + \chi_{b_1} S) + \frac{(r_{c,V})^P}{r_0} M(\chi_{d_1} V + \chi_{c_1}) \right]}{\sqrt{2\pi(\sigma_{00})_c}} \right]^{\frac{1}{S}} = 0 \quad (15)$$

در معادله (۱۵) مقدار $r_{c,V}$ بستگی به زاویه دهانه شیار و شعاع نوک آن (از طریق پارامتر) و $K_{Ic}^{V,p}$ دارد. توجه به این نکته ضروری است که تمام پارامترهای استفاده شده در معادله (۱۵)، برای یک قطعه شیاردار V شکل با زاویه دهانه و شعاع شیار و جنس مشخص، مقادیری معلوم هستند. تنها پارامتر مجھول در این معادله $r_{c,V}$ است که با حل معادله (۱۵) به دست می‌آید. محاسبات ریاضی نشان دهنده آن است که این معادله فقط دارای یک جواب حقیقی است. از آن جا که $r_{c,V}$ پارامتری حقیقی است، در حالتی که معادله (۱۵) دارای جواب‌های مختلف نیز باشد، این جواب‌ها قابل قبول نیستند. پارامتر σ_{00} جزء خواص ثابت ماده است و برای مواد ترد و شبه ترد به طور کلی برابر با استحکام نهایی قطعه در حالت کشش (۵) در نظر گرفته می‌شود.

در ادامه ضروری است، از راه آزمایش بررسی شود که آیا معیار پیشنهاد شده در این بخش می‌تواند تخمین قابل قبولی از شکست مواد پلیمری ترد شیاردار زیر بارگذاری شیوه II ارائه دهد یا خیر. به این منظور در بخش بعد، قطعه آزمایشگاهی جدیدی از جنس پلیمر ترد معروف و پارامترهای شیار برای آن به کمک روش اجزای محدود معین می‌شود.

تحلیل اجزای محدود

در این پژوهش، از نمونه‌های صفحه‌ای بروزیلی دارای شیار V شکل

محدود معین می شوند. همچنین، آزمون های شکست شیوه II خالص بر اساس زوایای خاص β_{II} که قبلاً با روش اجزای محدود به دست آمده اند، انجام شده اند. زوایای دهانه شیار برابر با 30° , 60° و 90° درجه در نظر گرفته شده است. برای مطالعه آثار تغییر شعاع نوک شیار ρ در شکست نمونه ها، برای شعاع نوک شیار سه مقدار 1 mm , 2 mm و 4 mm در نظر گرفته شده است که در مجموع ۹ حالت هندسی مختلف برای نمونه ها وجود دارد. به ازای هر کدام از شرایط بارگذاری شیوه های I و II، آزمون شکست و در مجموع تعداد ۵۴ آزمون برای ارزیابی معیار RV-MTS انجام شده است.

شکل ۵ نمایی از نمونه RV-BD را به هنگام آزمایش شکست شیوه II خالص (برش خالص در امتداد نیم ساز شیار) نشان می دهد. همچنین، در **شکل ۶** نمایی از نمونه های شیار دار پس از آزمون شکست شیوه های I و II نشان داده شده است.

ذکر این نکته ضروری است که برای هر زاویه دهانه شیار مشخص $I_{IC}^{V,\rho}$ ، مقدار متوسط پارامتر $K_{IC}^{V,\rho}$ به کمک آزمون شکست شیوه II خالص (زاویه بارگذاری $= 0^\circ$) به دست می آید. برای محاسبه مقادیر ضرایب شدت تنش شیار متناظر با بارهای شکست، مطابق با توضیحات ارائه شده در بخش تحلیل اجزای محدود، بارهای بحرانی به دست آمده از آزمون های شکست، در راستای معلوم روی مدل اجزای محدود نمونه ها اعمال شده و مقادیر $K_{IC}^{V,\rho}$ و $K_{IIc}^{V,\rho}$ محاسبه می شوند.



شکل ۵ - نمایی از نمونه RV-BD به هنگام آزمایش شکست شیوه II خالص.

شده در **شکل ۴** به کمک نرم افزار ABAQUS مدل سازی شده و مقدار σ_{BD} در امتداد نیم ساز شیار در زوایای مختلف β مورد مطالعه قرار گرفته است. محاسبات اجزای محدود نشان می دهد، β_{II} بستگی چندانی به شعاع نوک شیار ندارد و به طور تقریبی مستقل از این پارامتر است. برای زوایای دهانه شیار 30° , 60° و 90° درجه، زوایای بارگذاری متناظر با شرایط شیوه II خالص (β_{II}) به ترتیب برابر با 25° , 30° و 35° درجه هستند.

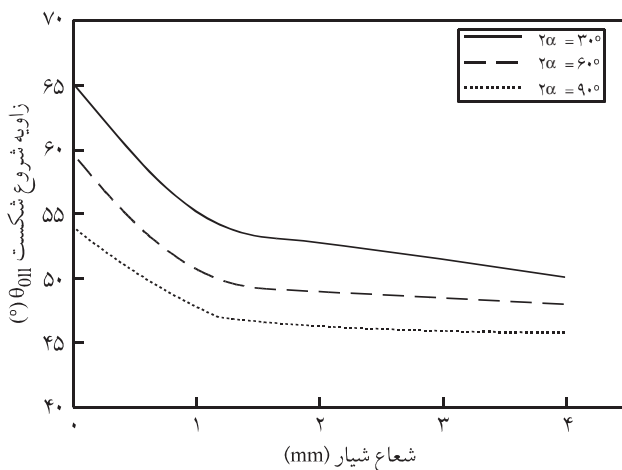
برای محاسبه مقادیر ضرایب شدت تنش شیار، ضروری است تا مدلی از نمونه هایی که رفتار شکست آنها بررسی شد، در یک نرم افزار اجزای محدود ایجاد شده و بارگذاری مربوط روی نمونه ها اعمال شوند. با اعمال بارگذاری روی مدل اجزای محدود نمونه ها، برای شرایط شیوه I خالص، مقدار تنش های محیطی و برای شرایط شیوه II خالص، تنش های برشی σ_{BD} در راستای نیم ساز شیار به کمک نرم افزار اجزای محدود محاسبه می شوند. با معلوم بودن تنش های محیطی و برشی متناظر با بارگذاری مربوط و با استفاده از معادلات (۳) و (۴)، مقادیر ضرایب شدت تنش شیار محاسبه می شوند.

بررسی تجربی

یکی از نمونه های آزمایشگاهی مورد استفاده برای مطالعه تجربی شکست در قطعات ترک دار نمونه صفحه برزیلی ترک دار (BD) است که تاکنون توسعه پژوهشگران مختلف استفاده شده است [۱۴, ۱۵]. به منظور ارزیابی دقیق معيار RV-MTS، در پژوهش حاضر یک شیار داخلی V شکل جای گزین ترک شده و از نمونه های صفحه برزیلی دارای شیار V شکل (RV-BD) استفاده شده است. نمونه ها از جنس پلکسی گلاس با نام علمی پلی متاکریلات (PMMA) است که پلیمری شفاف، نسبتاً همگن و همسان گرد است و برای مطالعه شکست ترد، مناسب است. آزمایش هادر دمای محیط انجام شده اند. خواص مکانیکی PMMA استفاده شده در این آزمایش ها، در دمای محیط به شرح زیر است:

$$\begin{aligned}\sigma_u &= 70/5 \text{ MPa} \\ K_{IC} &= 196 \text{ MPa} \sqrt{\text{m}} \\ E &= 2963 \text{ MPa} \\ v &= 0.28\end{aligned}\tag{16}$$

در تمام نمونه ها، قطر نمونه (D) برابر با 80 mm ، قطر شیار (d) برابر با 40 mm و ضخامت نمونه 10 mm است. در این آزمایش بار به شکل مت Insider و فشاری از بالا و پایین به نمونه اعمال می شود. همان طور که قبله گفته شد، مقادیر $K_I^{V,\rho}$ و $K_{II}^{V,\rho}$ به کمک تحلیل های اجزای



شکل ۷- پیش‌بینی معیار RV-MTS در ارتباط با تغییرات زاویه شروع شکست برای نمونه‌های PMMA در دمای محیط بر حسب تغییرات شعاع نوک شیار برای زوایای مختلف دهانه شیار.

شعاع‌های مختلف نوک آن به دست آورد. در [شکل ۷](#) پیش‌بینی معیار RV-MTS در ارتباط با تغییرات زاویه شروع شکست برای نمونه‌های PMMA در دمای محیط بر حسب تغییرات شعاع نوک شیار، برای زوایای مختلف دهانه شیار نشان داده شده است.

در [شکل های ۸ تا ۱۰](#)، تغییرات زاویه شروع شکست به ازای تغییرات شعاع نوک شیار برای زوایای دهانه شیار، ۳۰، ۶۰ و ۹۰ درجه به همراه نتایج آزمایشگاهی نشان داده شده‌اند. پس از محاسبه زوایای شروع شکست نمونه‌ها (θ_{0II})، می‌توان به کمک معادله (۱۳) مقدار نسبت چقرمگی شکست شیار را زیر بارگذاری شیوه II خالص، به ازای زوایای مختلف دهانه شیار و شعاع‌های مختلف نوک شیار به دست آورد. در [شکل های ۱۱ تا ۱۳](#) منحنی‌های پیش‌بینی معیار RV-MTS درباره تغییرات نسبت چقرمگی شکست شیار، برای نمونه‌های PMMA در دمای محیط بر حسب



شکل ۶- نمایی از قطعات RV-BD پس از شکست زیر بارگذاری‌های شیوه‌های خالص I و II.

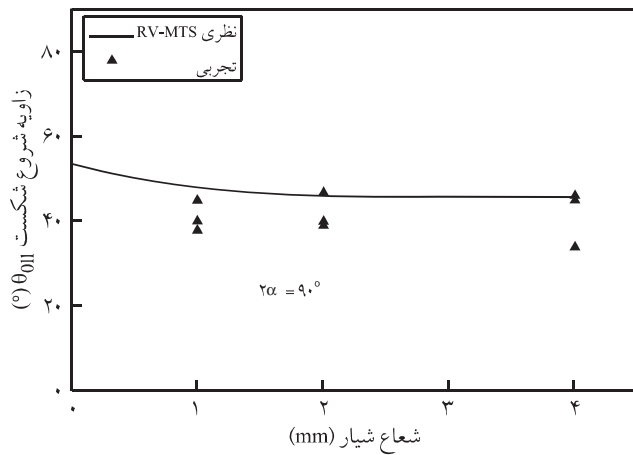
نتایج و بحث

همان طور که قبلًا گفته شد، مطابق با معادله (۱۳)، برای تعیین نسبت چقرمگی شکست در شیارهای V شکل با نوک گرد ضروری است که پارامتر $r_{c,v}$ به کمک معادله (۱۵) معین شود. این پارامتر بستگی به V, ρ و σ_u دارد و مقدار آن در [جدول ۲](#) برای شیارهای مختلف ذکر شده است.

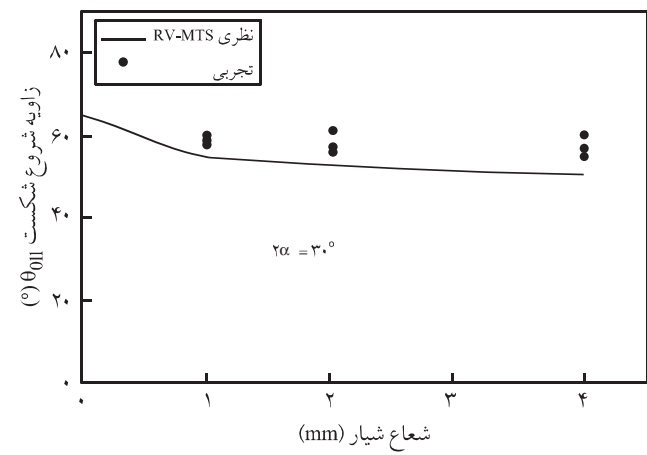
با معلوم بودن مقدار پارامتر $r_{c,v}$ و هم‌چنین سایر پارامترهای معرفی شده در [جدول ۱](#)، می‌توان با حل معادله (۹) زاویه شروع شکست متناظر با بارگذاری شیوه II خالص را به ازای زوایای مختلف دهانه شیار و

جدول ۲- مقادیر پارامترهای $r_{c,v}$ و $K_{Ic}^{V,\rho}$ به ازای زوایای دهانه و شعاع‌های نوک شیار مختلف.

$2\alpha = 90^\circ$		$2\alpha = 60^\circ$				$2\alpha = 30^\circ$				پارامتر	
ρ (mm)											
۴	۲	۱	۴	۲	۱	۴	۲	۱			
۴/۸۵	۳/۶۰	۲/۶۵	۳/۵۲	۲/۹۳	۲/۲	۳/۲	۲/۵	۲/۰۵	$K_{Ic}^{V,\rho}$ (MPa m ^(1-λ₁))		
۰/۴۹۸	۰/۸۷۰	۱/۵۷۰	۰/۴۴۹	۰/۸۵۱	۱/۴۳۳	۰/۳۴۸	۰/۶۸۶	۱/۳۳۶	و معادله (۱۵) $r_{c,v}$ (mm)		



شکل ۱۰ - تغییرات زاویه شروع شکست به ازای تغییرات شعاع نوک
شیار برای زاویه دهانه شیار ۹۰ درجه.

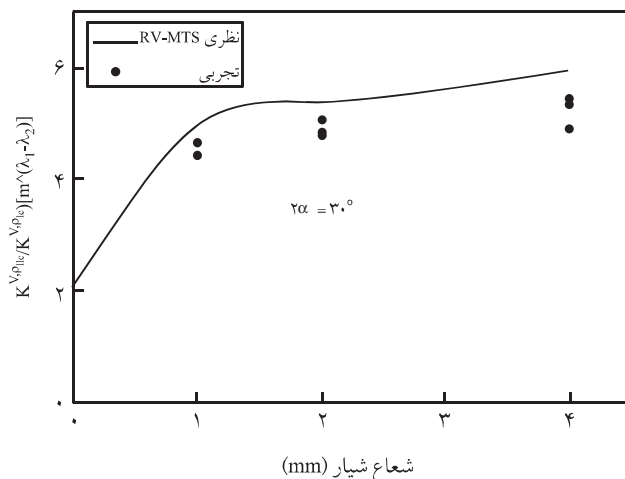


شکل ۸ - تغییرات زاویه شروع شکست به ازای تغییرات شعاع نوک
شیار برای زاویه دهانه شیار ۳۰ درجه.

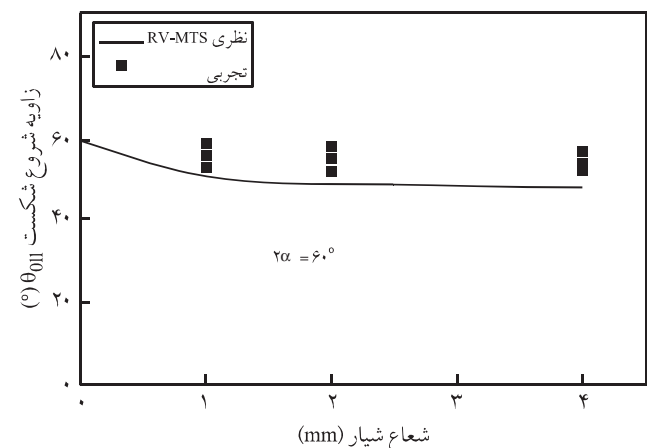
کمتر از پیش‌بینی‌های نظری است. در شکل ۱۱ تا ۱۳ مشاهده می‌شود که با افزایش زاویه دهانه شیار، مقدار عددی پارامتر نسبت چقرمگی شکست شیار افزایش می‌یابد. علت آن است که با افزایش زاویه دهانه شیار، مقدار عددی چقرمگی شکست شیار زیر بارگذاری شیوه II خالص ($K_{Ic}^{V,p}$) به شکل فزاینده‌ای افزایش می‌یابد که می‌تواند به دلیل رشد سریع پارامتر $r^{1-\lambda_2}$ در معادله (۴) باشد. هم‌چنین مشاهده می‌شود، با افزایش شعاع نوک شیار، مقدار پارامتر نسبت چقرمگی شکست افزایش می‌یابد. علت این پدیده مربوط به کاهش تمرکز تنش در نزدیکی نوک شیار است. محاسبات انجام شده نشان می‌دهد که متوسط اختلاف موجود بین

تغییرات شعاع نوک شیار نشان داده شده‌اند. این شکل‌ها به ترتیب مربوط به زوایای دهانه شیار ۳۰، ۶۰ و ۹۰ درجه بوده و نتایج تجربی نیز در آنها ارائه شده است.

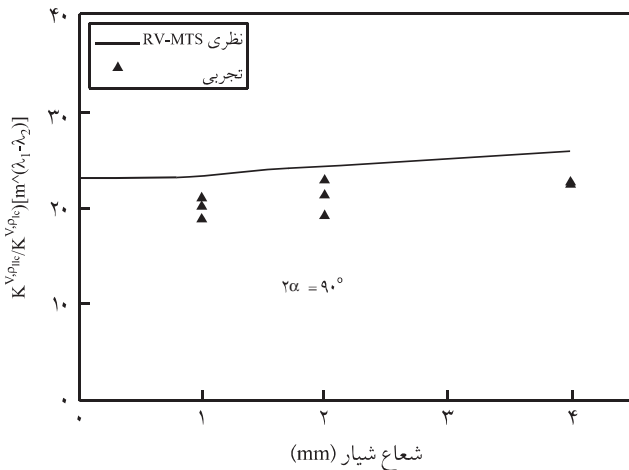
شکل ۷ نشان می‌دهد که افزایش دو پارامتر زاویه دهانه شیار و شعاع نوک شیار موجب کاهش زاویه شروع شکست زیر بارگذاری شیوه II خالص (θ_{0II}) می‌شود. هم‌چنین، در شکل ۸ و ۹ مشاهده می‌شود، برای زوایای دهانه شیار ۳۰ و ۶۰ درجه، به ازای تمام شعاع‌های نوک شیار، مقادیر تجربی زاویه شروع شکست، کمی بیش از مقادیر مربوط به پیش‌بینی نظری RV-MTS هستند. شکل ۱۰ نیز نشان می‌دهد، به ازای زاویه دهانه شیار ۹۰ درجه، متوسط مقادیر تجربی زاویه شروع شکست،



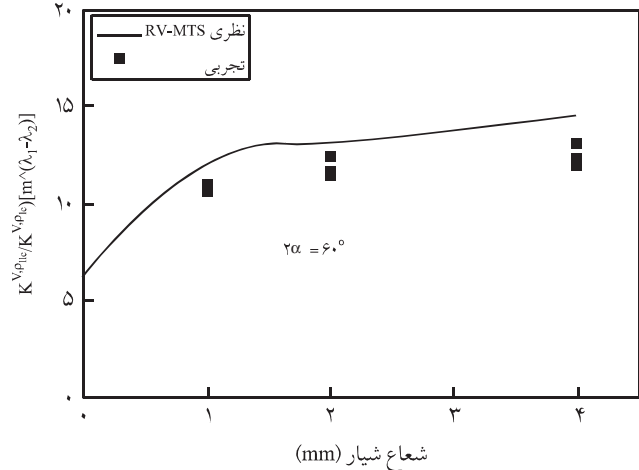
شکل ۱۱ - تغییرات نسبت چقرمگی شکست شیار به ازای تغییرات شعاع نوک شیار، برای زاویه دهانه شیار ۳۰ درجه.



شکل ۹ - تغییرات زاویه شروع شکست به ازای تغییرات شعاع نوک
شیار برای زاویه دهانه شیار ۶۰ درجه.



شکل ۱۳ - تغییرات نسبت چقرمگی شکست شیار به ازای تغییرات شعاع نوک شیار، برای زاویه دهانه شیار ۹۰ درجه.



شکل ۱۲ - تغییرات نسبت چقرمگی شکست شیار به ازای تغییرات شعاع نوک شیار، برای زاویه دهانه شیار ۶۰ درجه.

طور گسترده در صنایع مختلف به ویژه صنایع هوا فضا و خودرو استفاده می شود. به دلایل خاص کاربردی، این ماده در قطعات مختلف می تواند دارای شیارهایی از قبیل شیارهای V شکل باشد. از آن جا که پلکسی گلاس ماده ای ترد است و شکست در آن اغلب به طور ناگهانی و بدون هشدار قبلی رخ می دهد. بنابراین، پیش بینی چقرمگی شکست قطعات دارای شیار V شکل ساخته شده از این ماده، در برابر بارهای وارد شده به آن، به کمک معیارهای شکست مناسب امری ضروری است. در این پژوهش، نشان داده شد که معیار RV-MTS می تواند تخمین قابل قبولی از بار شکست در شیار V شکل و در حالت برش خالص ارائه دهد. اما، در مواردی که پلکسی گلاس شیار دار در دمای محیط استفاده شود، پیشنهاد می شود که ضریب اطمینانی حداقل معادل ۷/۱ در محاسبات شکست قطعه لحاظ شود تا آثار تغییر شکل های پلاستیک در اطراف شیار نیز در رفتار شکست پلکسی گلاس شیار دار لحاظ شود.

نتیجه گیری

در این پژوهش، معیار MTS کلاسیک که پیش تر برای پیش بینی چقرمگی شکست و زاویه شروع شکست در قطعات ترک دار، زیر بارگذاری های شیوه II خالص و شیوه ترکیبی I/II رائمه و استفاده شد، به حوزه قطعات شیار دار V شکل با نوک گرد تعمیم داده شده و برای پیش بینی شکست ماده پلیمری پلکسی گلاس استفاده شد. درباره قطعات ترک دار، مطابق معیار MTS، مقادیر پارامترهای نسبت چقرمگی شکست ($K_{IIc}^{V,p} / K_{Ic}^{V,p}$) و زاویه شروع شکست زیر بارگذاری شیوه II

نتایج تجربی و نتایج معیار RV-MTS در مقدار پارامتر نسبت چقرمگی شکست شیار برای زوایای دهانه شیار ۳۰، ۶۰ و ۹۰ درجه به ترتیب برابر با ۹، ۱۰ و ۱۳ درصد است. در ارتباط با زاویه شروع شکست زیر بارگذاری شیوه II خالص نیز متوسط اختلاف به ترتیب برابر با ۸/۵ و ۱۲ درصد است که این امر به مفهوم دقت قابل قبول معیار RV-MTS است. **شکل** های ۱۱ تا ۱۳ نشان می دهند، پیش بینی معیار RV-MTS درباره پارامتر نسبت چقرمگی شکست شیار، در تمام زوایای دهانه شیار و به ازای تمام شعاع های نوک شیار، اندکی بیش از مقادیر متناظر تجربی است. صرف نظر از پراکندگی موجود در نتایج تجربی که برای مواد ترد امری طبیعی به شمار می رود، علت این موضوع می تواند به دلیل وجود اندکی تغییر شکل پلاستیک پلکسی گلاس در نزدیکی نوک شیار، در دمای محیط باشد. هم چنین، ملاحظه می شود که با افزایش شعاع نوک شیار، مقدار اختلاف نتایج نظری و تجربی افزایش می یابد. برای این موضوع حداقل دو دلیل می توان ذکر کرد. یک دلیل این که با افزایش شعاع نوک شیار و با توجه به ثابت بودن طول شیار در تمام نمونه ها، دقت میدان تنش استفاده شده برای استخراج معیار RV-MTS کاهش می یابد [۱۱]. دلیل دوم این که با افزایش شعاع نوک شیار، گرادیان تنش در نزدیکی نوک شیار کاهش یافته و بنابراین ناحیه پلاستیک در اطراف نوک شیار از حالت موضعی خارج شده و بزرگ تر می شود. با توجه به این که معادلات معیار RV-MTS با فرض میدان تنش کشسان خطی استخراج شده است، بدیهی است که با بزرگ تر شدن ناحیه پلاستیک، اختلاف نتایج نظری با نتایج تجربی افزایش می یابد.

با توجه به استحکام خوب و وزن کم پلکسی گلاس و هم چنین قابلیت مناسب این ماده برای انجام عملیات ماشین کاری، از این ماده به

شعاع‌های نوک شیار اندکی بیش از مقادیر متناظر تجربی است. این موضوع می‌تواند مربوط به آثار تغییر شکل پلاستیک پلکسی گلاس در نزدیکی نوک شیار، در دمای محیط باشد. نمونه صفحه برزیلی دارای شیار V شکل با نوک گرد (RV-BD)، نمونه‌ای مناسب برای انجام آزمون‌های شکست در قطعات شیاردار V شکل با نوک گرد، به ویژه در بارگذاری شیوه II خالص و برای پلکسی گلاس است.

خالص، ثابت و به ترتیب برابر با ۰/۸۶۶ و ۰/۵۱-۷۰ درجه است. اما، برای قطعات شیاردار V شکل با نوک گرد، مقادیر این دو پارامتر ثابت نیست و بستگی به زاویه دهانه شیار، شعاع نوک آن و چقرومگی شکست شیوه I خالص شیار $K_{Ic}^{V,p}$ دارند. به طور کلی در بارگذاری شیوه II خالص، مطابقت خوبی بین نتایج تجربی و نتایج حاصل از معیار RV-MTS در تخمین زاویه شروع شکست و نسبت چقرومگی شکست قطعات پلکسی گلاس شیاردار مشاهده شد. پیش‌بینی معیار RV-MTS در باره نسبت چقرومگی شکست شیار در تمام زوایای دهانه شیار و به ازای تمام

مراجع

1. Tijssens M.G.A., Van der Giessen E., and Sluys L.J., Modeling of Crazing Using a Cohesive Surface Methodology, *Mech. Mater.*, **32**, 19-35, 2000.
2. Gearing B.P. and Anand L., On Modeling the Deformation and Fracture Response of Glassy Polymers due to Shear-yielding and Crazing, *Int. J. Solid. Struct.*, **41**, 3125-3150, 2004.
3. Maccagno T.M. and Knott J.F., Fracture Behavior of PMMA in Mixed Modes I and II, *Eng. Fract. Mech.*, **34**, 65-86, 1989.
4. Kambour R.P., A Review of Crazing and Fracture in Thermoplastics, *J. Polym. Sci.*, **7**, 1-154, 1973.
5. Cartertools, <http://www.cartertools.com/tei01.jpg>, available in 20 December 2008.
6. Gomez F.J. and Elices M., Fracture of Components with V-Shaped Notches, *Eng. Fract. Mech.*, **70**, 1913-1927, 2003.
7. Gomez F.J. and Elices M., A Fracture Criterion for Blunted V-Notched Samples, *Int. J. Fract.*, **127**, 239-264, 2004.
8. Leguillon D., Strength or toughness? A Criterion for Crack Onset at a Notch, *Eur. J. Mechanic. A, Solids*, **21**, 61-72, 2002.
9. Priel E., Yosibash Z., and Leguillon D., Failure Initiation at a Blunt V-Notch Tip under Mixed Mode Loading, *Int. J. Fract.*,
10. Erdogan F. and Sih G.C., On the Crack Extension in Plates under Plane Loading and Transverse Shear, *J. Basic Eng. Trans. ASME*, **85**, 525-527, 1963.
11. Filippi S., Lazzarin P., and Tovo R., Developments of Some Explicit Formulas Useful to Describe Elastic Stress Fields Ahead of Notches in Plates, *Int. J. Solid. Struct.*, **39**, 4543- 4565, 2002.
12. Gomez F.J., Elices M., Berto F., and Lazzarin P., Local Strain Energy to Assess the Static Failure of U-Notches in Plates under Mixed Mode Loading, *Int. J. Fract.*, **145**, 29-45, 2007.
13. Lazzarin P. and Filippi S., A Generalized Stress Intensity Factor to be Applied to Rounded V-Shaped Notches, *Int. J. Solid. Struct.*, **43**, 2461-2478, 2006.
14. Ayatollahi M.R. and Aliha M.R.M., Cracked Brazilian Disc Specimen Subjected to Mode II Deformation, *Eng. Fract. Mech.*, **72**, 493-503, 2005.
15. Ayatollahi M.R. and Aliha M.R.M., Fracture Toughness Evaluation for Brittle Polymers under Combined Tensile-shear Loading, *Iran. J. Polym. Sci. Technol. (Persian)*, **21**, 107-117, 2008.